

活性汚泥のタンパク質、核酸の合成およびグリコーゲンの蓄積について

北海道大学 ○ 加藤善益
井上雄三

I. はじめに 汚水の生物学的処理において、第一に要求されることは、微生物による有機物の酸化分解、およびこれに共役した合成(貯蔵現象を除く)の両反応速度を高く維持することにある。したがって、従来の多くの研究はこの両反応アプロセスにおける外的条件(例えば、DOレベル、搅拌強度 etc.)のえりそよぎについてもさわってきた。しかしむかう、酸化分解率、汚泥の生成率といった総体的な指標に関する内容をさらに細胞成分の個々の変化まで広げて論議した報告は、多くはないといふ現状であろう。

著者らは先に、生物活性が菌体内の主として炭水化合物の多寡により左右され、しかもその程度は菌体のAgeのちがいとさらに異なることを明らかにした。¹⁾これらの活性におよぼす律速要因が何であるかを究明することは、生物活性の人為的制御という基本点から重要と思われる。

以上の観察から、先ず、生物反応系の基本的因子としての基質濃度、および菌体濃度の変化による細胞成分の変化を静的条件下で調べ、あわせて動的アプロセスでの変化を一部調べた。

II. 実験方法

1. 実験装置 (A)(24時間テスト)； 反応フラスコ(液量300ml), フィルター, O_2 電解装置+4ml³「北鋼製式」酸素呼吸自動測定装置を用いた。反応液はマグネチックスター-ラにすり 600 rpm で搅拌曝気される。本装置の反応液のKd値は液量300mlの時 130 ppm O_2 /hrである。⁶⁾ 反応温度20°C一定。

(B)(1×1/4テスト)； 液量30L, 空気量8L/min, $K_{1A}=15.4 \text{ l}^3$ (Tap Water)

2. 実験に供した汚泥と基質の組成

Bの曝気装置で24時間サイクル, fill and Draw方式で長期間(約4ヶ月)、合成培地で培養驯化した家庭下水起源の汚泥を用いた。合成培地は、グルコース+NH₄Cl系に1%酵母エキスBufferを加えたものである。驯養負荷は約0.4 g Glu/g⁻¹ day⁻¹、汚泥濃度は、約2g/lとなるよう毎日引取った。(滞留時間8日)

3. 分析方法

- グリコーゲン(Novikoffの簡易定量法)；30%のKOHで汚泥をアルカリ加水分解後、残渣を除きフェノール硫酸法により定量した。炭水化合物関係はすべてこのフェノール硫酸法によった。
 - タンパク質； 1%NaOHでタンパク質を加熱抽出後 Micro Biuret法¹⁰⁾により定量した。
 - 全核酸(DNA+RNA)； STS法¹¹⁾にてgml全核酸蛋白を抽出し紫外外部吸収法により定量した。
 - NH₄⁺；ネストー比色, NO₃⁻; G.R.比色, NO₂⁻; フェノール硫酸法。
- Total-N; カルダール(ゼラビド)法。

III. 実験結果

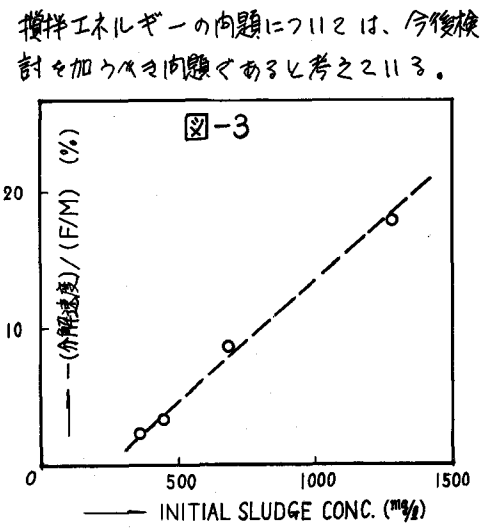
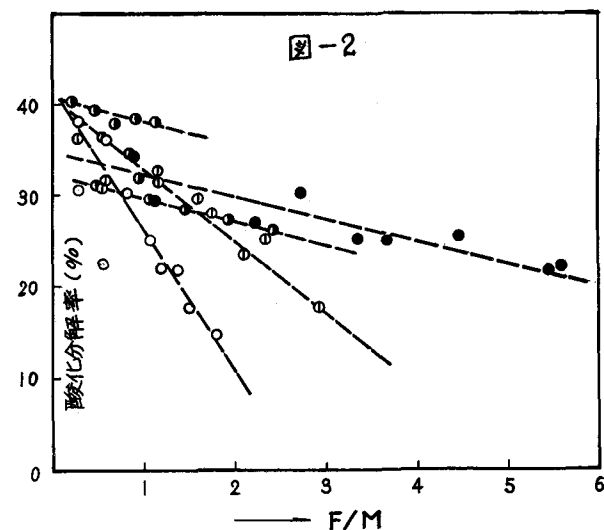
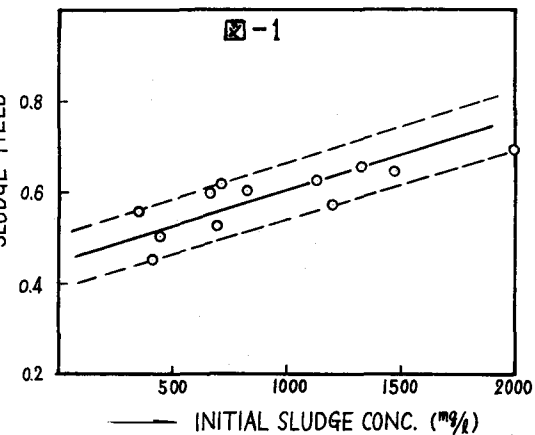
(A) 本実験では、汚泥濃度370～2000 mg/lの範囲、グルコース濃度330～2000 mg/lの範囲で行った。1リットル毎に5段階の負荷を設定し、24時間反応後直ちに分析に移じた。

1. 基質の酸化分解率、汚泥生成率に及ぼすF/M比、初期汚泥濃度の影響。

汚泥濃度の影響については、Gaudy²⁾らがグループコース系で行った実験で、初期汚泥濃度が約300 mg/l から 5000 mg/l に増加した時、分解率が30%から5%程度低下し、また汚泥の生成率は48~82%の間で変化したことなどを報告している。本実験結果では、図-1に示すように、初期汚泥濃度の大さい時程、生成率が大きくなっている傾向にある。分解率については、F/M比と初期汚泥濃度の両方に大きく関係し、両因⼦がともに大きい場合程、酸化分解率、即ち呼吸量が低下することが明らかになった。

この酸化分解能の低下の程度は、初期汚泥濃度が300 mg/l 以上で、単位F/Mあたりの分解率の低下の割合が、初期汚泥濃度に比例的であり、これから単位汚泥あたり、単位F/Mあたりの分解率の低下の割合を計算すると、約16%/(F/M)/gr SSという値が得られた。(図-2から、初期汚泥濃度の各グループ毎に、平均的低下率を計算しプロットしたのが図-3である。) 汚泥濃度300 mg/l 以下にあたりては、この酸化分解率の低下は無視してもよい程度と思われる。

汚泥の生成率と分解率の関係をみると、生成率の方は、基質の分解率程、初期汚泥濃度あまりない。負荷の影響を受けていない。このことより、基質の分解によって得られたエネルギーの利用の仕方、即ち、生命エネルギーの転位の仕方が異り、細胞成分の組成変化が予想される。図-2で示した結果をひきおこす原因が何であるかが問題であるが、主として次の二つが考えられる。即ちDO レベルと、系に加えられた攪拌エネルギーである。DO レベルについては、本装置のKdが130 mg/l^{0.2}/hrであり、どの程度の汚泥濃度まで可能かという問題になる。いま最大呼吸速度を約100 mg O₂/gr ss/hr とすると、およそ1200 mg/l の汚泥濃度以下でDO レベルは問題とならないと思われる。



攪拌エネルギーの問題については、今後検討を加えねば問題であると考える。

2. タンパク質合成についに。

前述したように、 T/M が大きい場合、基質分解率が低下し、したがって得られるエネルギー量が小さくなり、生合成エネルギーの大きさは核酸とタンパク質等の生体高分子物質の合成が抑制されることが予想される。

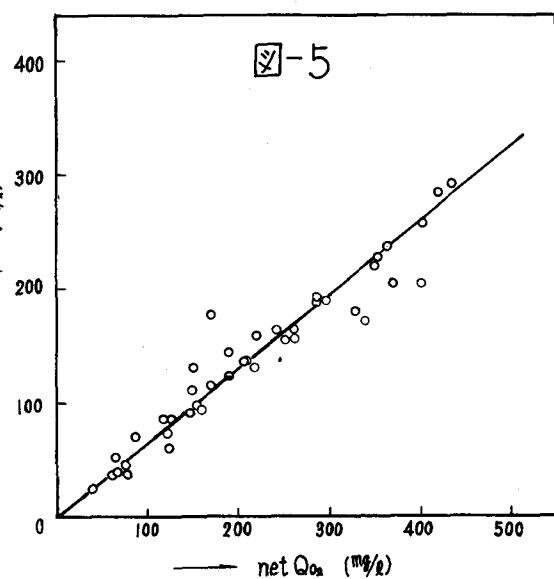
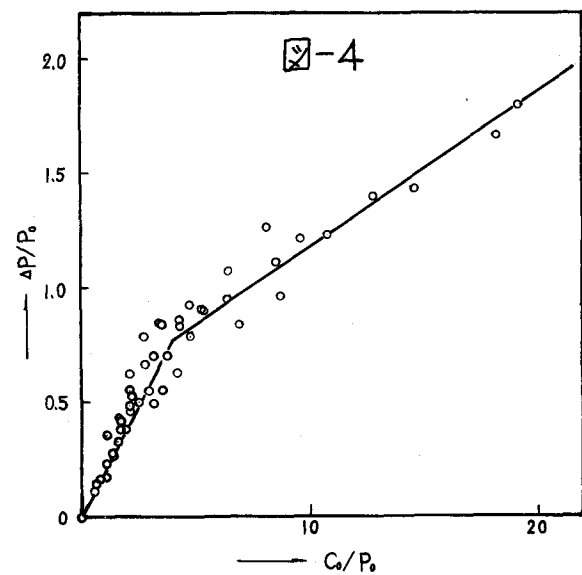
負荷量(汚泥タンパク質あたり)と、タンパク質合成率との関係を図-4に示す。初期タンパク質量あたりの添加基質質量(C/P_0)が4以下では、初期基質量には比例してタンパク質の合成が行われることがわかる。この合成率は約22%と計算される。 C/P_0 値が4以上の領域では、 C/P_0 値、即ち負荷の大きさからして、タンパク質の合成率が低下し、 $C/P_0 = 20$ のときグルコースの約9%しかタンパク質合成に使われてないことがわかる。この critical C/P_0 値を T/M で表わすと、約1.2となる。

上記のタンパク質合成率は、基質中の窒素の除去により実験するとき求めた値であるが、Micro Biuret 法で測定するタンパク質はトリペプチド以上のポリペプチドであり、また、(アラニン+ヒドロキシプロリン)残基の多いタンパク質であれば、発色が弱い。

このよろせ理由で、アミノ酸を含めた全窒素化合物の収支の問題は重要であるが、この点につきは後に述べることにする。

次に O_2 消費量とタンパク質合成量との関係であるが、生合成エネルギーの大きさが物質濃度

消費 O_2 との割合が強くある一定の関係が成立するはずである。全実験例につき、タンパク質合成量と net の O_2 消費量をプロットしたのが図-5である。これから両者の間ににはつきりとした関係が成立し、1 g の呼吸量の結果約 0.67 g のタンパク質が合成されておりと計算される。両者の比例関係は、活性汚泥中で行われる諸反応のうち、タンパク質合成反応、基質分解反応と共に進行行われるとして示してよいと思われる。したがつて、前節で得られた結果と合わせて考えれば、タンパク質合成率の低下はグルコース分解率の低下と一致し、汚泥濃度が高くなる、すなわち負荷が大きくなる程、タンパク質合成量が低下し、他の合成エネルギーの小さい物質の蓄積反応が進むと思われる。



3. 核酸の合成につれて

活性汚泥の核酸につれては、Shephardらが、汚泥消化槽のコントロール=DNA量を指標として使うことを提案⁸⁾し、またGenetelli⁹⁾は、SVIとDNA含量との関連について調べてある。本邦では、金子らが、数種の汚泥につれてDNA、RNAを定量し、その結果、RNAがVSSに逆行して増加し、それとともにO₂消費速度が高くなること、RNA/DNA比の変動から曝気槽の生物相の変化を予測するといふことを報告している。¹⁰⁾

本報では特にDNA、RNAの分離定量を行はず、全核酸画分につれての2者の動向を調べた。図-6は、核酸可溶画分の除去後、5%PCAで加熱分解後5倍希釈して得られた全核酸画分の核酸吸収スペクトルで1ミリースの実験例である。図-7には、初期汚泥濃度の異なる2シリーズにつれての結果を示した。初期汚泥濃度と、負荷との相互関係により核酸レベルも大きく左右されることがわかる。核酸合成能の小さい汚泥程、負荷が大きくなるにつれてがれり、核酸の合成が抑制されてしまう。RUN 920のように、この活性の大きい汚泥では、培地中のグルコース濃度にほぼ比例して増加して、この場合、添加したグルコースの核酸への合成就率は、約5%と計算された。

DNA、RNAの合成には、タンパク質以上にエネルギー供給が必要であると思われ、またタンパク質合成と密接な関係にあるから、netのO₂消費と核酸合成量は、その活性度の大小にかかわらず、直線比例するであろう。結果を図-8に示す。

この結果と図-5に示した結果から、タンパク質量の増加は、核酸の増加量に比例し、この実験に供じた汚泥の場合、1gの全核酸の増加は、約3.2gのタンパク質の増加をもたらす。(図-9)

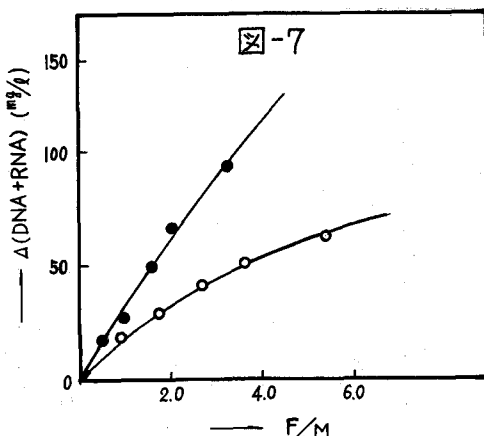


図-7

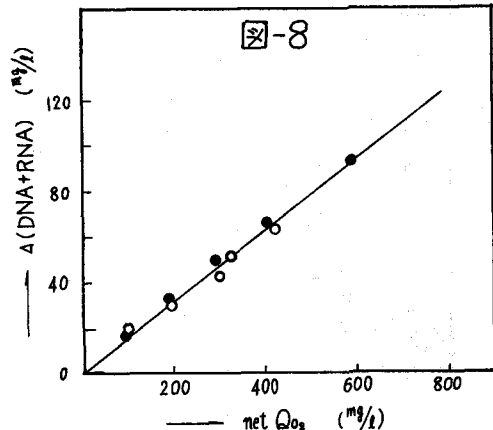


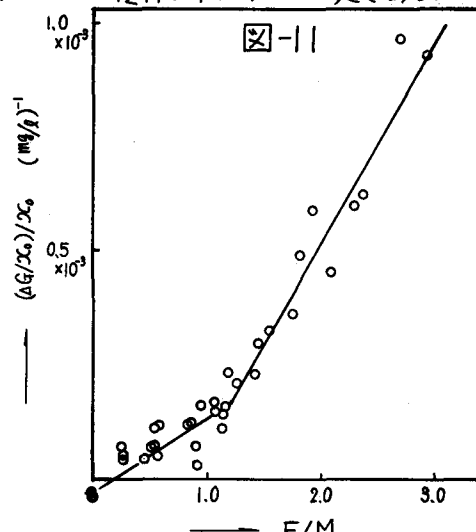
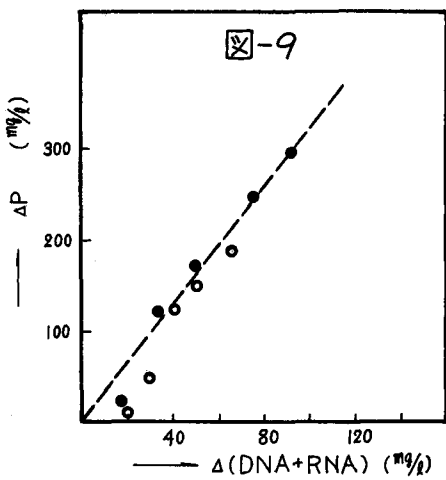
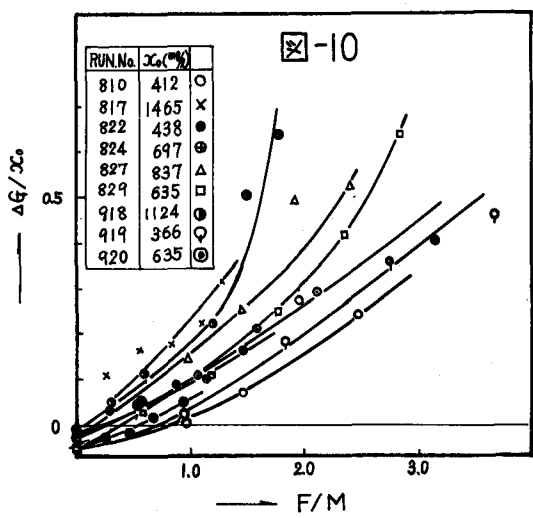
図-8

前頁においづ、グルコースからの糖酵合率は、RUN 920 の実験で約5% といふが、この割合も結晶、培養条件、特に基質濃度、および菌体濃度により左右され、直接的には呼吸量に依存している。

4. グリコーゲンの貯蔵につりづ。

微生物のグリコーゲンの合成、蓄積現象につりづは、Palmstena ⁹⁾ 及 E. coli を使って詳細に研究している。また瀧井 ¹⁰⁾ は、活性汚泥中のグリコーゲンを定量し、CN, CP 等につりづ検討している。加藤ら ¹¹⁾ はバッターポロセスにおいづ、基質除去活性の変動が、グリコーゲンが大部分と思われる活性汚泥の炭水加物量の変動と密接な関係にあり、かつ、呼吸活性の変化がこれに平行する形で対応し、炭水加物の貯蔵による生物活性の抑制効果につりづ述べている。すなはち述べた様に、糖酵合率、タンパク質合率、および呼吸量の関係より活性汚泥の生成率との関係から、生体高分子物質であるタンパク質、核酸の合成と、他の主な細胞成分(多糖類、脂質)の合成は、おもよく反対の関係にあることが予期される。

次に、F/M とグリコーゲン合率の関係であるが、図-10 に示す如く、初期汚泥濃度が高いものは、F/M が大きであつて、初期 SS あたりのグリコーゲン合率が大きくなる傾向にあり、最初に述べた、グルコース分解率においづか、F/M、初期汚泥濃度の之れ等と関する傾向と直接関連してゐる。タンパク質の合率の場合には、初期の汚泥濃度の之れ等とはより程顯著ではなく、むつばく F/M に依存するようであるが、グリコーゲンの場合には、図-10 に示す如く、この関係は左右されない。Gaudy ¹²⁾ は、反応系の搅拌エネルギーを大きくすると、汚泥の炭水加物、および SS が減少し、タンパク質、DNA, RNA 量はほぼ一定であると述べている。本実験では、スターの回転数一定、反応液量一定の条件であるため、反応系に加えられた搅拌エネルギー一定である。(か



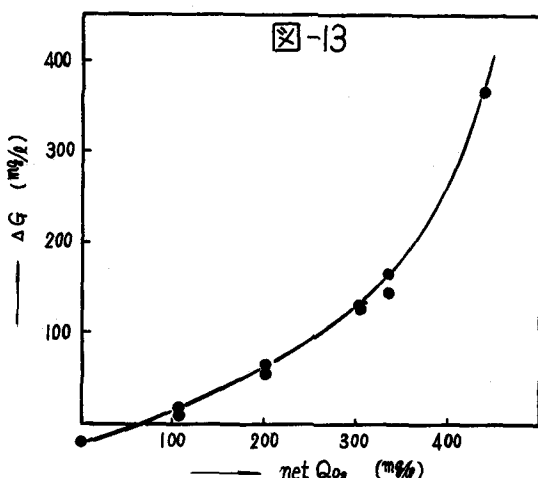
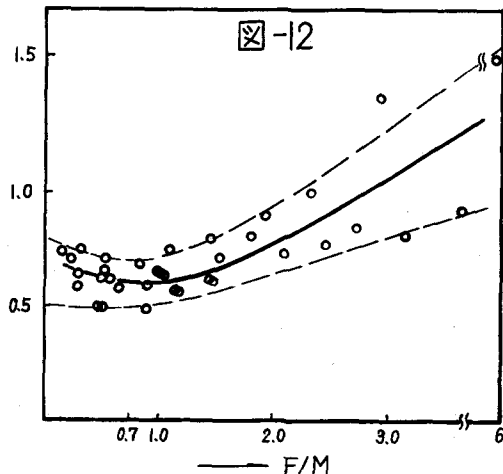
じながら、微生物フローラの個々に加えられるエネルギー量は、生物量に逆比例する。 $\gamma = 2$ 、 $= 2$ では、機械エネルギーの効果を考慮し、図10に示す結果を、単位汚泥あたりのグリコーゲン合成率を絶対値に整理しての図-11である。その結果よく整理された図-12で示したタンパク質の合成率に関する傾向と全く反対の傾向を示すことが明らかとなりた。変曲点はタンパク質の場合と同じく、負荷(F/M) 1.2あたりにあり、それ以上の負荷では、負荷が高くなる程、グリコーゲンの蓄積が著しくなるがわかる。図-12は、F/M 24 時培養後のタンパク質に対するグリコーゲンの比(G/P)を20°C にてしたものである。タンパク質の合成は、初期汚泥濃度の大きいほど著しくなるが、グリコーゲンには逆にさうするためG/P値は中をもつ。F/Mが1.0附近以下でG/P値は約0.6であるがF/Mが6倍になるとG/Pは1.5まで増加した。Walters³⁾の結果も、ほぼ同じ傾向を示しておりF/Mが0.8から4.3まで増加すると、タンパク質T-4の汚泥の炭水化物の比が、1.2から2.7まで増加して、T-2になる。ただしF/M 0.8以下の領域での実験は行っていない。

次にグリコーゲン合成量と呼吸量の関係であるが直接の比例関係は認められず、その1例を図-13に示した。これは、グリコーゲン合成量、エネルギー代謝反応と其役割との関係を直接的に示しているものである。

以上述べた結果より、F/Mが1.0附近に組成変化の変曲点があり、この点以上のF/Mの範囲で、高濃度汚泥、高負荷の条件下、基質分解活性の低下を示す。同時に、核酸、タンパク質の合成が低下。また、グリコーゲンの蓄積が促進されるが、全体としてこの汚泥の生成にはこれが最も影響を及ぼすものである。

5. 114470℃セスにおけるタンパク質、核酸、グリコーゲンおよびN-化合物の変動

上記の結果は、基質添加24 時後という静的状態での結果であるため、合成速度あるいは消費速度等に関する考察を完全に行うことにはできない。そこで、反応経過にしたがい、各細胞成分がどのように変化し、また生理状態が変っていかかを、4ヶ月実験により調べた。使用した汚泥の性状は次の如くである。初期汚泥濃度: 1879(mg/l), タンパク質: 488(mg/l) 核酸: 150(mg/l), グリコーゲン: 444(mg/l)



Org-N : 154(mg/l), 添加グルコース濃度は 1,000(mg/l)である。結果を図-14～図-16に示す。

実験の結果、グルコース除去速度は、 $1.19 \text{ gr Glucose/gr SS/hr}$ である。初期除去率は、18.5%であった。残存基質濃度は 50 mg/l (添加後 20 分) まで 0 次反応で除去され、その後 50 分まで一次反応的に除去された残存グルコースは約 3 mg/l となつた。SS, 汚泥の炭水化物, およびグルコゲン量はこの時まで最大に達し、それ以後の除去グルコースに対する生成率は、SS 2%, 82.7%, 汚泥の炭水化物が 81.4%, T42-T45 が 2~62.8% である。

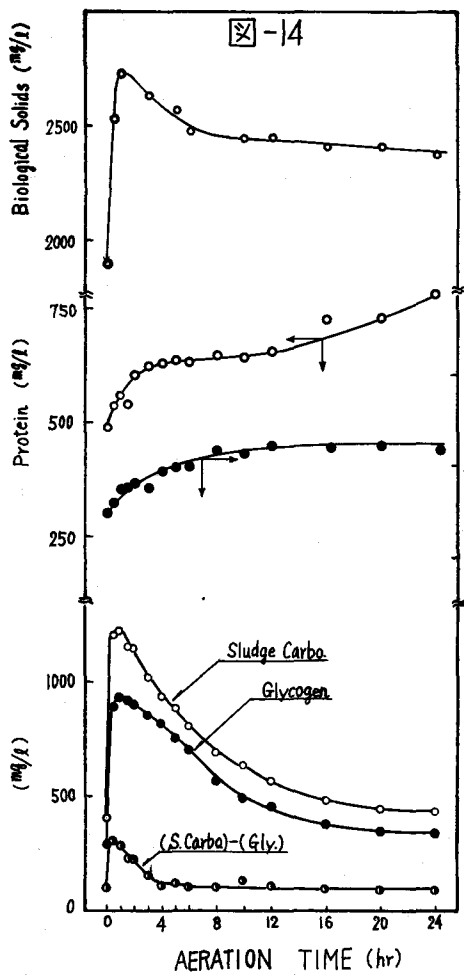


図-14

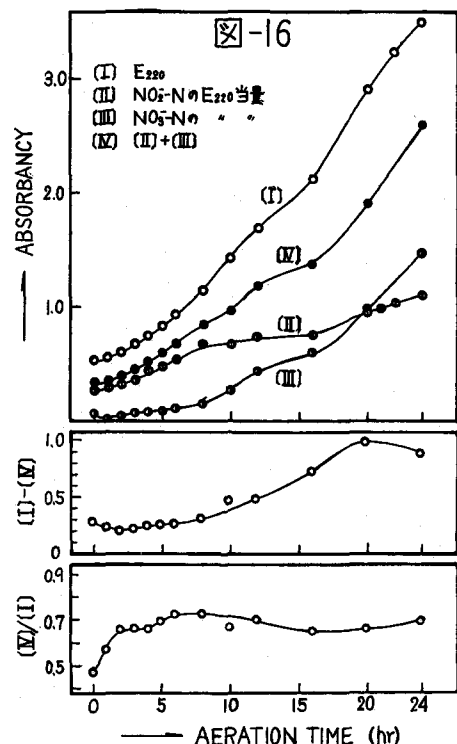


図-16

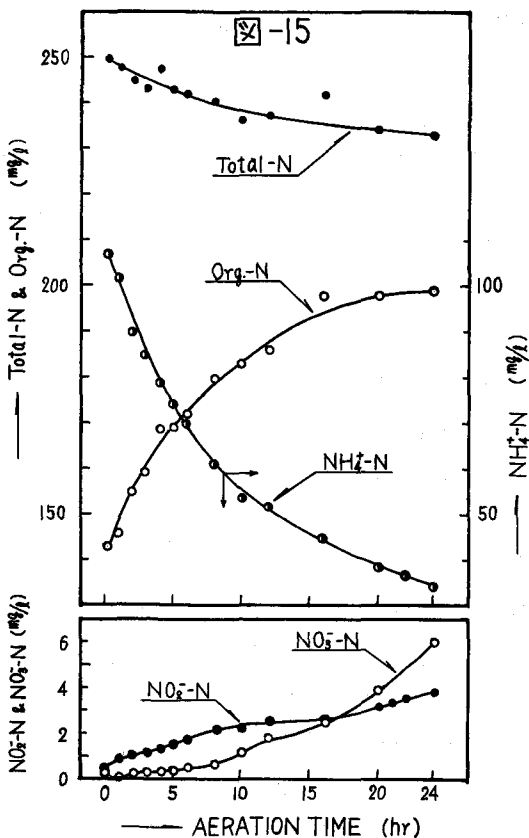


図-15

蛋白質の合成速度は、初期に最も速く、約5��間で合成功量がリコイシフラットとなり、12時間過ぎる頃から再び合成が進むことになった。しかししながら、有機性窒素は24時間まで増加が継続しており、タンパクとの差異が認められる。タンパク量から、タンパク体窒素と有機性窒素の関係を計算すると、前者は後者の約半分と計算され、タンパク質の反応経過による質的変化とあわせて今後検討を重ねなければならぬ。

汚泥の金炭水化物、グリコーゲンについては、8時間までの消費速度の変曲点とはほぼ同じである。核酸は8時間まで増加し、その後合成が止まり、グリコーゲン消費速度の変曲点とはほぼ同じ時間であった。汚泥の炭水化物のうち、30% KOHで処理し加水分解された糖類は、約20分で最大となり、4時間ではほとんど消費されていない。また、グリコーゲンの初期の消費は、汚泥の金炭水化物の消費に比べて相対的に多くやかであつた。

NH₄-N の除去ペダーランは、Org-N の増加に対応してあり、24時間後の全除去量は 75mg/l-N で除去率は 68.2 % であった。また、硝化作用は 8 時間で 増殖が止まり、その後緩慢となり、同時に、硝酸菌の増殖が大きくなつており、全硝酸の合成が止った時刻と一致している。

また、3波の 220mM の紫外外部吸収値 (E_{220}) の変化をみると、時間の経過とともに初期に上昇率が大きくなり、8時間からは一定割合の増加を示した。硝酸、亜硝酸イオンも紫外外部に吸収があるが、それより 1mg/l-N の E_{220} は 0.25、および 0.30 であり、これから E_{220} の当量値を以て全吸収と比較して、全吸収値との差より、紫外外部の吸収を持つ Unknown 物質が溶出する現象が観察される。8時間で、基質添加前の値がつづり、その後約4倍まで増加した。(図-16)

IV 結論

呼吸量自動測定装置を用いた実験で、初期汚泥濃度、および最初の之れままで 24 時間で測定した。その結果、汚泥の生成率は 45% から 68% まで変化し、初期汚泥濃度が高い程大きく、また、酸化分解率は、両因子によって強く左右されるとても大きな程、分解率は低下した。タンパク質における全核酸の合成功量は、net O₂ を直接以てし、net O₂ が 1g の時、タンパク質の合成功量は 0.67g、全核酸の合成功量は 0.16g であった。酸化分解率の小さい汚泥過程、核酸、タンパク質の合成功量は小さく、これがグリコーゲンの蓄積が促進された。高濃度汚泥、高負荷でのようじ汚泥が生成される。

1×44 テストの結果、SS、汚泥の金炭水化物、グリコーゲンなど、基質が除去されにくくなる時刻で最大となる後それがすりやかに消費される。タンパク質、核酸は初期に増加が著しく、前者は5時間の後 12時間から再び増加してが、後者はそれが合成が止り、この時間には、グリコーゲン消費の変曲点、および硝酸菌の増加、溶液系への紫外外部吸収物質の溶出のはじまりと一致し、活性汚泥の生理、生態系の変化に関する示唆を得らう。

おわりに 本研究に多大な協力を貰った、修士課程の関根一夫君、青井直君、四年目学生五島清治君、吉川雅幸君に感謝の意を表します。

参考文献 1) 加藤他 9回下水道研究発表会講演集(1972). 2) GAUDY Jr. et al. J.W.P.C.F.(1966) 3) WALTER C.F. A.S.C.E. SA. (1968) 4) PALMIERI; Acta. Chemica. Scand. 12 (1956) 5) 清井; 水処理生物学会誌 4 (1968) 6) 能谷; 酶工学雑誌 52 (1972) 7) 金子; 水処理技術 9 (1968) 8) SHEPARD et al; J.W.P.C.F. 37 (1965) 9) GENETELU; J.W.P.C.F. 39 (1967) 10) GILL D.M.; Analytical Biochemistry 9 (1964) 11) 水野; 核酸の一般的定量法 東大出版会 (1969)